

光学重点

光学重点

几何光学

几何光学三定律

snell's law

棱镜最小偏向角

费马原理

共轭点

光学系统严格成像的条件

傍轴光线透镜物象距公式(*important*)

傍轴光线反射球面物象距公式

横向放大率公式

*Gauss*公式

*Lagrange – Helmholtz*恒等式

薄透镜动力学

空气中磨镜者公式

牛顿物像公式

横向放大率

密接薄透镜组

作图法（三条重要光线）

主点和主面

基点和基平面

角放大率

*Helmholtz*公式

照相相关

光学仪器

眼睛

和眼睛直接相关的两种仪器（需要考虑到眼睛特性）

光瞳

*E. Abbe*正弦条件

照度，亮度见P98.5

波动光学

波前

平面波

球面波

偏振光

马吕斯定律

*Fresnel*反射折射公式

布儒斯特角

斯托克斯倒逆关系

tips :

干涉

干涉的必要条件

分波前干涉

光强衬比度

两束平行光的干涉

光源宽度与干涉条纹的关系

光源宽度与衬比度

分振幅干涉 $\Delta L = 2nh\cos i_2 (\pm \frac{\lambda}{2})$

迈克尔逊干涉仪

光源非单色性对条纹的影响

- 光源的时间相干性
- 光源的空间相干性
- 波动光学的一些应用
 - 法布里-珀罗干涉
 - 菲涅尔圆孔衍射和圆屏衍射
 - 半波带半径
 - 夫琅禾费单缝衍射和矩孔衍射
 - 光学仪器像分辨本领
 - 多缝夫琅禾费衍射
 - 光栅分光
 - 闪耀光栅
- 傅里叶光学
 - 屏函数
 - 正弦光栅的制备
 - 屏函数傅里叶展开
 - 空间滤波
 - 全息*Halo*
- 偏振光学
 - 双折射
 - 偏振光的获得与检验
 - 偏振光干涉
 - 电光效应
 - 旋光效应
- 光的吸收、色散和散射
 - 吸收
 - 色散
 - 群速
 - 散射
- 量子光学
 - 热辐射
 - 光电效应
 - 康普顿效应
 - 玻尔原子模型
 - 激光

几何光学

几何光学三定律

1. 直线传播定律：在均匀介质中光沿**直线**传播
2. **独立**传播定律：不同方向的光线相交，不影响每一光线的传播
3. 反射、折射定律：在两种媒质的**界面**发生反射、折射

snell's law

$$n \sin \theta_i = n' \sin \theta'_i$$

棱镜最小偏向角

$$n = \frac{\sin \frac{\delta_m + \alpha}{2}}{\sin \frac{\alpha}{2}} n_0$$

(其中 α 为棱镜顶角)

费马原理

$$\delta \int_Q^P n dl = 0$$

共轭点

将物点移到原来的像点位置，并使光线沿反方向射入光具组，像点将出现在原来的物点位置上。这样的一对物像点被称为共轭点。

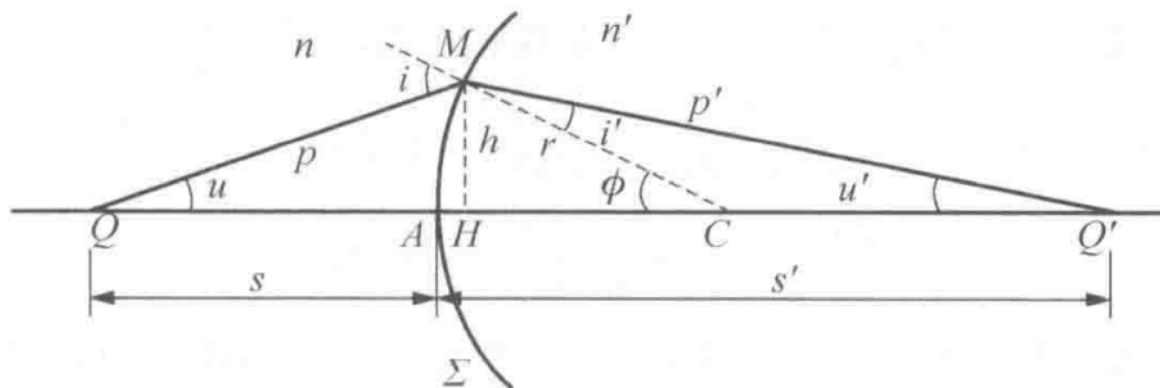
光学系统严格成像的条件

- 1.同心性不变：由物点发出的同心光束通过光具组后保持同心性不变。
 - 2.等光程成像：由物点发出的所有光线通过光具组后均应以相等的光程到达像点。
- 透镜往往难以形成共轭点。specially: 齐明点

傍轴光线透镜物象距公式(important)

$$\frac{n}{s} + \frac{n'}{s'} = \frac{n' - n}{r} = \Phi$$

Def: $\Phi = \frac{n' - n}{r}$ 为光焦度, 单位为屈光度(D/m^{-1})

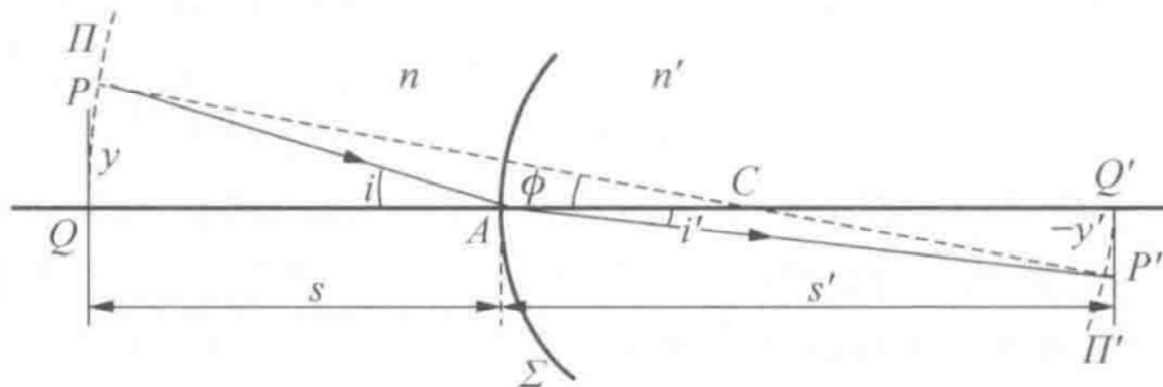


傍轴光线反射球面物象距公式

$$\frac{1}{s} + \frac{1}{s'} = -\frac{2}{r} (n' \rightarrow -n, s' \rightarrow -s')$$

横向放大率公式

- 折射球面 $V = \frac{y'}{y} = -\frac{ns'}{n's}$



- 反射球面 $V = -\frac{s'}{s}(n' \rightarrow -n, s' \rightarrow -s')$

Gauss公式

$$\frac{f'}{s'} + \frac{f}{s} = 1$$

Lagrange – Helmholtz恒等式

$$ynu = y'n'u' \quad \text{其中 } u = \frac{h}{s}, -u' = \frac{h}{s'}$$

薄透镜动力学

$$\frac{n}{s} + \frac{n'}{s'} = \frac{n_l - n}{r_1} + \frac{n' - n_l}{r_2} \quad \text{其中 } n_l \text{ 为薄透镜折射率}$$

$$\text{令 } \Phi_1 = \frac{n_l - n}{r_1}, \Phi_2 = \frac{n' - n_l}{r_2}, \Phi_1 + \Phi_2 = \Phi \rightarrow \frac{n}{s} + \frac{n'}{s'} = \Phi$$

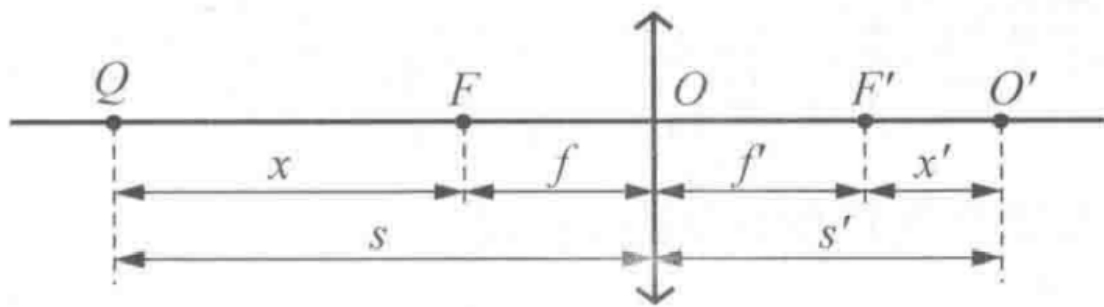
空气中磨镜者公式

$$f = f' = \frac{1}{(n_l - 1)(\frac{1}{r_1} - \frac{1}{r_2})}$$

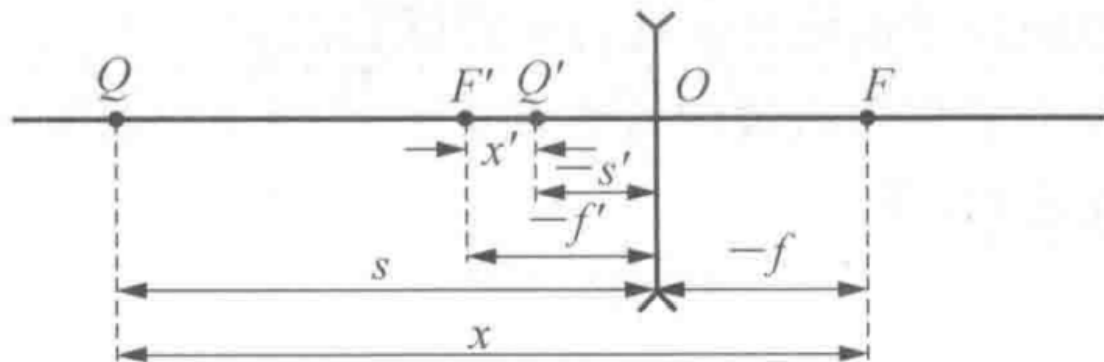
空气中的薄透镜物距和像距**永远**位于两侧

牛顿物像公式

$$xx' = ff'$$



(a)凸透镜



(b)凹透镜

横向放大率

$$V^{tip} = -\frac{ns'}{n's} = -\frac{fs'}{f's} = -\frac{x'}{f'} = -\frac{f}{x}$$

tip: 负号是由第一次呈像的物距变为第二次呈像的像距产生的

密接薄透镜组

$$\frac{1}{s} + \frac{1}{s'} = \frac{1}{f_1} + \frac{1}{f_2}$$

作图法（三条重要光线）

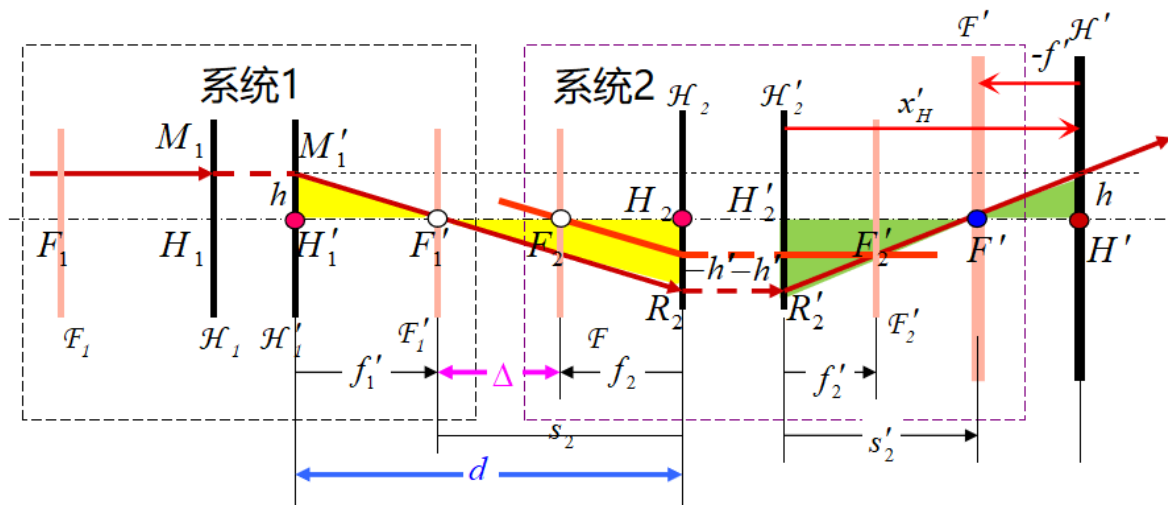
需要熟练掌握凹透镜作图

主点和主面

主面：过主点做垂直于光轴的平面，是横向放大率为1的一对共轭面

基点和基平面

考虑两个理想光具组的联合基点为图中 H' ，由相似关系和*Gauss*公式即可推得下列公式



$$\begin{cases} f' = -\frac{f_1 f_2'}{\Delta}, X_H' = \frac{d f_2'}{\Delta} \\ f = -\frac{f_1 f_2}{\Delta}, X_H = \frac{d f_1}{\Delta} \end{cases}$$

$$\Phi = \frac{1}{f_1} + \frac{1}{f_2} - \frac{d}{f_1 f_2}$$

角放大率

$$W = \frac{\tan u'}{\tan u} = -\frac{s}{s'}$$

可得横向放大率与角放大率成反比: $VW = \frac{n}{n'}$

Helmholtz公式

$$y \tan u = y' n' \tan u'$$

在傍轴情况下变为Lagrange - Helmholtz等式

照相相关

景深: 由Newton物像公式得

$$\frac{\delta x'}{\delta x} = -\frac{f^2}{x^2}$$

大光圈+长焦镜头+近距离 → 小景深

小光圈+短焦镜头+远距离 → 大景深

像差: 见PPT

光学仪器

投影仪: $s \approx f$

照相机: $s' \approx f$

眼睛

远点: 无穷远; 近点: 明视距离

和眼睛直接相关的两种仪器 (需要考虑到眼睛特性)

对于眼睛前的放大镜和目镜:

由于眼睛的特点, 物体只能处于凸透镜焦点以内的小范围内, 这个范围叫焦深

物体的视角最大不超过 $w = \frac{y}{s_0}$ 由牛顿公式, 其对光心夹角为 $w' = \frac{y}{f}$ 则放大镜视角放大率 $M = \frac{s_0}{f}$,

对不同放大倍率的目镜来说焦深 $x = \frac{s_0}{M(M+1)}$

显微镜：物在 f_0 附近，**第一次呈像在 f_e 附近**，最后呈像在明视距离 $s_0(25\text{cm})$ 外，角放大率 $M = -\frac{\Delta s_0}{f_e f_o}$ ，其中 Δ 为光学筒长

望远镜：**第一次呈像在 f_e 附近**且 $f'_0 \approx f_e$ ，角放大率 $M = -\frac{f'_o}{f_e}$

光瞳

入射光瞳：孔径光阑在物方的共轭，大小用物镜横向放大率计算

出射光瞳：孔径光阑在像方的共轭，大小用目镜横向放大率计算

E. Abbe正弦条件

傍轴物点以大孔径光束呈像的充要条件： $n y \sin u = n' y' \sin u'$

照度，亮度见P98.5

tip :与太阳能量有关的问题要从太阳的辐射出能量的通量不变下手

波动光学

波前

记初相位为 $-\varphi_0$

平面波

Def : (i)振幅为常数(ii)具有线性相位因子

复振幅 $\widetilde{U}_P = A e^{i(\mathbf{k} \cdot \mathbf{r} + \varphi_0)}$

球面波

复振幅 $\widetilde{U}_P = \frac{a}{r} e^{i(kr + \varphi_0)}$

$\varphi(P) = kx$ —源初相位

偏振光

总设

$$\begin{cases} E_x = A_x \cos(wt) \\ E_y = A_y \cos(wt + \Delta\varphi) \end{cases}$$

则“广义椭圆”的取向只取决于相位差

左旋偏振光：迎着传播方向观察，电矢量逆时针转动

右旋偏振光：迎着传播方向观察，电矢量顺时针转动

马吕斯定律

$$I_\theta = I_0 \cos^2 \theta$$

Fresnel反射折射公式

边界处两个Maxwell方程+折射率 $n \approx \sqrt{\epsilon_r}$

$$\begin{cases} \vec{n} \times (E_1 - E_2) = 0 \\ \vec{n} \times (H_1 - H_2) = 0 \end{cases}$$

$$r_s = -\frac{\sin(i_1 - i_2)}{\sin(i_1 + i_2)} = \frac{\cos i_1 - \sqrt{n_{21}^2 - \sin^2 i_1}}{\cos i_1 + \sqrt{n_{21}^2 - \sin^2 i_1}}$$

$$r_p = \frac{\tan(i_1 - i_2)}{\tan(i_1 + i_2)} = \frac{n_{21}^2 \cos i_1 - \sqrt{n_{21}^2 - \sin^2 i_1}}{n_{21}^2 \cos i_1 + \sqrt{n_{21}^2 - \sin^2 i_1}}$$

$$t_s = \frac{2 \cos i_1 \sin i_2}{\sin(i_1 + i_2)} = \frac{2 \cos i_1}{\cos i_1 + \sqrt{n_{21}^2 - \sin^2 i_1}}$$

$$t_p = \frac{2 \cos i_1 \sin i_2}{\sin(i_1 + i_2) \cos(i_1 - i_2)} = \frac{2 n_{21} \cos i_1}{n_{21}^2 \cos i_1 + \sqrt{n_{21}^2 - \sin^2 i_1}}$$

【注意】 $i_2 = \arcsin\left(\frac{n_1}{n_2} \sin i_1\right)$

2. 后一个等于号是把 $n_{21} \cos i_2$ 换成了 $\sqrt{n_{21}^2 - \sin^2 i_1}$

正入射有 $\begin{cases} r_s = -r_p = \frac{n_2 - n_1}{n_1 + n_2} \\ t_s = t_p = \frac{2n_1}{n_1 + n_2} \end{cases}$

- 光强（波印廷矢量） $I \propto n|E|^2$
- 能流（光强投影）反射率 $\mathcal{R} = r^2$
- 能流（光强投影）透射率 $\mathcal{T} = \frac{n_2 \cos i_2}{n_1 \cos i_1} t^2$

布儒斯特角

$$r_p = 0, i_b + i_2 = \frac{\pi}{2}$$

$$i_b = \arctan\left(\frac{n_2}{n_1}\right)$$

斯托克斯倒逆关系

无论是 s 分量还是 p 分量，其内反射与外反射振幅反射比 $r = -r'$ ，相应的振幅透射比（ t_s 与 t'_s ， t_p 与 t'_p ）总是符号相同， $tt' + r^2 = 1$

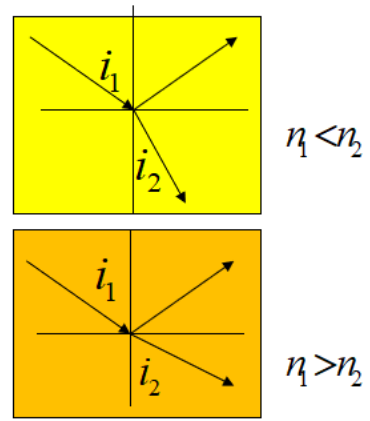
tips :

自然光经过偏振片强度变为原来的一半

入射光的半波损失: 当且仅当 S 波和 P 波同时发生振动方向的反转，即只有**正入射**和**掠入射**的时候可能发生

反射光的半波损失: 介质层（折射率 n_2 ）上下表面的折射率为 n_1, n_3 ，当满足 n_2 为极值时两反射光有半波损失

| | δ_{rp} | δ_{rs} |
|------------------------------|---------------|---------------|
| $n_1 < n_2, i_1 < i_B$ | 0 | π |
| $n_1 < n_2, i_1 > i_B$ | π | π |
| $n_1 > n_2, i_1 < i_B$ | π | 0 |
| $n_1 > n_2, i_B < i_1 < i_C$ | 0 | 0 |
| $n_1 > n_2, i_1 > i_C$ | 0~ π | 0~ π |



相位损失图

干涉

$$I(P) = I_1(P) + I_2(P) + 2\sqrt{I_1(P)I_2(P)}\cos\delta(P)$$

干涉的必要条件

1. 频率相同 (保证积分不为0)
2. 存在相互平行的振动分量
3. 相位差 $\delta(P)$ 稳定 δ 不固定则会出现 $\cos\delta$ 迅速变化使得 $\overline{\cos\delta}$ 为0

分波前干涉

条纹间距为

$$\Delta x = \frac{D}{d}\lambda$$

光强衬比度

$$\gamma = \frac{2A_1A_2}{A_1^2 + A_2^2}$$

则干涉公式变为:

$$I = I_0(1 + \gamma\cos\delta)$$

$$\text{其中 } I_0 = I_1 + I_2 = A_1^2 + A_2^2$$

两束平行光的干涉

沿 x, y 方向的条纹间距为

$$\begin{cases} \Delta x = \frac{\lambda}{\sin\alpha_1 - \sin\alpha_2} \\ \Delta y = \frac{\lambda}{\cos\alpha_1 - \cos\alpha_2} \end{cases}$$

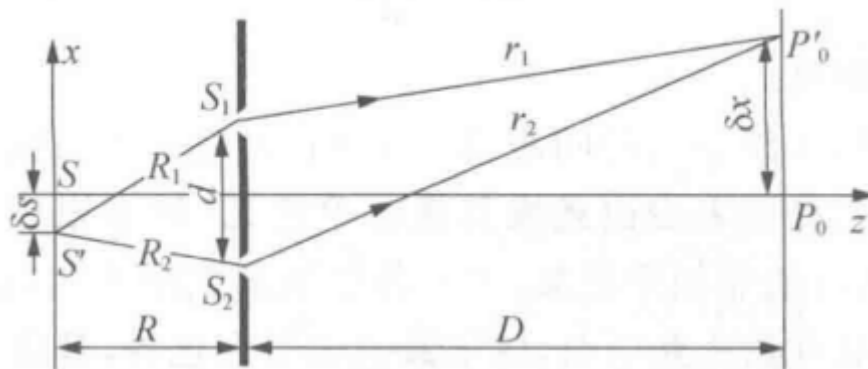
空间频率为

$$\begin{cases} f_x = \frac{1}{\Delta x} \\ f_y = \frac{1}{\Delta y} \end{cases}$$

光源宽度与干涉条纹的关系

$$\begin{cases} \delta x = \frac{D}{R}\delta s \\ \Delta x = \frac{D}{d}\lambda \end{cases}$$

$\delta x = \Delta x$ (点源连续分布), 令 $\delta s = b_1$ 得到光源极限宽度: $b_1 = \frac{R}{d}\lambda$



光源宽度与衬比度

$$\gamma = \left| \frac{\sin u}{u} \right|$$

其中 $u = \frac{b}{b_1} \pi$

分振幅干涉 $\Delta L = 2nh \cos i_2 (\pm \frac{\lambda}{2})$

等厚干涉

$$e.g \begin{cases} \text{楔形薄膜 } \Delta x = \frac{\lambda}{2\alpha} \\ \text{牛顿环 } R = \frac{r_{k+m}^2 - r_k^2}{m\lambda} \end{cases}$$

中央级数最小，牛顿环向上移动，各级数变大

等倾干涉: $\Delta L = 2nh \cos i_2 (\pm \frac{\lambda}{2})$ 中央级数最大，增大 h 级数变大，有 $l = N \frac{\lambda}{2}$

迈克尔逊干涉仪

光源非单色性对条纹的影响

最大光程差 (空间周期)

$$\Delta L_M = \frac{2\pi}{\Delta k} = \frac{\lambda^2}{|\Delta \lambda|}$$

光源的时间相干性

$$\tau_0 \Delta \nu \approx 1$$

光源的空间相干性

$$b \Delta \theta = \lambda$$

波动光学的一些应用

法布里-珀罗干涉

$$I_T = \frac{I_0}{1 + \frac{4R \sin^2(\delta/2)}{(1-R)^2}}$$

推导需要使用斯托克斯倒逆定理，可以看出， R 增大，反射条纹亮线越来越宽，透射条纹亮线越来越窄

由 $\delta = \frac{4\pi n h \cos i}{\lambda}$, n 和 h 一般是不变的，影响 δ 变化的因素有 i 和 λ

(1) λ 固定，则半角宽度为

$$\Delta i = \frac{\lambda}{2\pi n h \sin i} \frac{1-R}{\sqrt{R}}$$

(2) i 固定 (经常是 0)，则某一纵模的半值宽度为

$$\Delta \lambda = \frac{\lambda^2}{2\pi n h \cos i} \frac{1-R}{\sqrt{R}}$$

由于多光束干涉，使得在很宽的光谱范围内只有特定的波长附近出现极大 $2nh = k\lambda_k, k \in \mathbb{Z}$ ，相邻极强频率间是等间隔的： $\Delta\nu = \frac{c}{2nh}$

色分辨本领为： $\frac{\lambda}{\delta\lambda} = k \frac{\pi\sqrt{R}}{1-R}$

菲涅尔圆孔衍射和圆屏衍射

矢量图解 $P151.5$

半波带半径

$$\rho_k = \sqrt{\frac{Rb}{R+b}} k\lambda \quad (k = 1, 2, \dots)$$

转化成透镜公式：

$$\frac{1}{R} + \frac{1}{b} = \frac{k\lambda}{\rho_k^2} \quad \text{即 } f = \frac{\rho_1^2}{\lambda}$$

夫琅禾费单缝衍射和矩孔衍射

矢量图解图像： $P154$ 图7 - 4

光强分布：

$$I_\theta = I_0 \left(\frac{\sin\alpha}{\alpha} \right)^2$$

其中 $\alpha = \frac{\pi a}{\lambda} (\sin\theta \pm \sin\theta_0)$ ， $\frac{\sin\alpha}{\alpha}$ 为单缝衍射因子， θ_0 为入射光与单缝所在平面法线的夹角

半角宽度：

$$\Delta\theta = \frac{\lambda}{a \cos\theta_0}$$

应用：由巴比涅定律，细丝所呈衍射图像与单缝所呈图像完全一致，可以用来测细丝直径

光学仪器像分辨本领

由于光学仪器光具组几乎都是圆形的，根据夫琅禾费圆孔衍射： $I_\theta = I_0 \left[\frac{2J_1(x)}{x} \right]^2$ ，半角宽度为 $\Delta\theta = 1.22 \frac{\lambda}{D}$

由瑞利判据得光学仪器最小分辨角 $\delta\theta_m = \Delta\theta$

角放大率

$$M = \frac{\delta\theta_e}{\delta\theta_m}$$

$$\delta\theta_e \approx 1' = 2.9 \times 10^{-4} \text{ rad}$$

$$\text{显微镜分辨本领 } \delta y_m = \frac{0.61\lambda}{N.A.}$$

多缝夫琅禾费衍射

相关参数：光栅常数 $d = a + b$ ，光栅有效长度 $L = Nd$

$$I_\theta = a_0^2 \left(\frac{\sin\alpha}{\alpha} \right)^2 \left(\frac{\sin N\beta}{\sin\beta} \right)^2 \quad \alpha = \frac{\pi a}{\lambda} \sin\theta \quad \beta = \frac{\pi d}{\lambda} \sin\theta$$

分析思路：矢量图解法（区别：衍射时 $R \propto A_0$ ，干涉时 $R \propto a_\theta$ ），单缝衍射因子和缝间干涉因子相乘实现相位调制，出现缺级

光栅分光

对于一定波长差 $\delta\lambda$ 的两条谱线的角间隔？由光栅方程 $d \sin\theta_k = k\lambda$ ，取微分得到 $\delta\theta = \frac{k\delta\lambda}{d \cos\theta_k}$

$$k \text{ 级条纹的角宽度: } \frac{\pi d}{\lambda} \sin\theta_k = k\pi \quad \frac{\pi d}{\lambda} \sin(\theta_k + \Delta\theta) = (k + \frac{1}{N})\pi \rightarrow \Delta\theta = \frac{\lambda}{Nd \cos\theta_k}$$

由瑞利判据 $\delta\theta = \Delta\theta$ 得最小分辨波长 $\delta\lambda = \frac{\lambda}{kN}$

閃耀光柵

由于 α 中 θ 是光线与狭缝法线的夹角， β 中 θ 则是与整个光柵平面法线夹角，传统的光柵 θ 相同，衍射的零级主极大与干涉的零级主极大重合，导致大部分能量和信息都集中于光柵中央

傅里叶光学

屏函数

凡使波前上的复振幅发生改变的物都称为衍射屏，都具有屏函数：

$$\widetilde{t}(x,y)=\frac{\widetilde{U}_2(x,y)}{\widetilde{U}_1(x,y)}$$

表 V-1 平面波和球面波在波前上的相因子

| 波的类型 | 特征 | 相因子 | 图解 |
|----------|--------------------------------------------------------------------------------------------------------------------|-----------------------------------------------------------------------------------------|----|
| (1)平面波 | $\left\{\begin{array}{l} \text{传播方向}(\theta_1,\theta_2) \\ \text{当}\theta_1=\theta_2=0\text{时} \end{array}\right.$ | $\left\{\begin{array}{l} \exp[ik(\sin\theta_1x+\sin\theta_2y)] \\ 1 \end{array}\right.$ | |
| (2)发散球面波 | 中心在轴上 坐标(0,0,-z) | $\exp\left[ik\frac{x^2+y^2}{2z}\right]$ | |
| (3)会聚球面波 | 中心在轴上 坐标(0,0,z) | $\exp\left[-ik\frac{x^2+y^2}{2z}\right]$ | |
| (4)发散球面波 | 中心在轴外坐标 (x_0,y_0,-z) | $\exp\left[ik\left(\frac{x^2+y^2}{2z}-\frac{xx_0+yy_0}{z}\right)\right]$ | |
| (5)会聚球面波 | 中心在轴外坐标 (x_0,y_0,z) | $\exp\left[-ik\left(\frac{x^2+y^2}{2z}-\frac{xx_0+yy_0}{z}\right)\right]$ | |

透镜的相位变换函数：

$$\widetilde{t}_L(x,y)=exp[-ik\frac{x^2+y^2}{2f}]$$

棱镜的相位变换函数：

$$\widetilde{t}_P(x,y)=exp[-ik(n-1)\alpha x]$$

正弦光栅的相位变换函数：

$$\tilde{t}(x, y) = t_0 + t_1 \cos(q_x x + q_y y + \varphi_0)$$

$q = 2\pi f$ 为空间圆频率

正弦光栅的制备

两束平行光干涉的光强为： $I = I_0[1 + \gamma \cos(q_x x + q_y y + \varphi_0)]$

经过线性冲洗： $\tilde{t}(x, y) = t_0 + \beta I(x, y)$ 得到正弦光栅

由欧拉公式可知平行光通过正弦光栅后分为三列平面波,对照平面波的复振幅和复振幅 \widetilde{U}_2 得到
 $2\pi f x = kx \rightarrow \sin\theta_{\pm 1} = \pm f\lambda$

屏函数傅里叶展开

任何复杂衍射屏的屏函数都可以展开成一系列简单屏函数的和

空间滤波

凸透镜本身就是一个低通滤波器，物平面在前焦面附近时截止频率为

$$\sin\theta = f\lambda \quad f_M = \frac{D}{2F\lambda}$$

全息Halo

无源空间中的光场分布由边界条件（波前）唯一确定 $I = (\widetilde{U}_o + \widetilde{U}_R)(\widetilde{U}_o^* + \widetilde{U}_R^*)$

利用线性冲洗得到屏函数 $\tilde{t}(x, y) = t_0 + \beta I(x, y)$

最后用与参考光 R 频率、角度相同的光源 R' 照明得到全息图像 $\widetilde{U} = \widetilde{U}_{R'} \tilde{t}(x, y)$

偏振光学

双折射

o 光：满足折射定律； e 光：一般不满足折射定律

$\left\{ \begin{array}{l} \text{主截面：晶体表面的法线方向与晶体内光轴方向所组成的平面} \\ \text{主平面：晶体中某条光线与晶体光轴所构成的平面} \\ \text{入射面：光线所在平面} \end{array} \right.$

光轴平行于界面，光线正入射（波片）

光线斜入射，光轴垂直于入射面（ o 光 e 光均满足折射定律）

偏振光的获得与检验

表Ⅶ-3 偏振光的检验

| | | | | | |
|--------|----------------------------------------------------------|--------------------------------------------------------------------------------|-----|-------------------------------------------------------------|------|
| 第一步 | 令入射光通过偏振片 I, 改变偏振片 I 的透振方向 P_1 , 观察透射光强度的变化(图 3-10(a)) | | | | |
| 观察到的现象 | 有消光 | 强度无变化 | | 强度有变化, 但无消光 | |
| 结论 | 线偏振 | 自然光或圆偏振 | | 部分偏振或椭圆偏振 | |
| 第二步 | | a. 令入射光依次通过 $\lambda/4$ 片和偏振片 II, 改变偏振片 II 的透振方向 P_2 , 观察透射光的强度变化(图 3-10(b)) | | b. 同 a, 只是 $\lambda/4$ 片的光轴方向必须与第一步中偏振片 I 产生的强度极大或极小的透振方向重合 | |
| 观察到的现象 | | 有消光 | 无消光 | 有消光 | 无消光 |
| 结论 | | 圆偏振 | 自然光 | 椭圆偏振 | 部分偏振 |

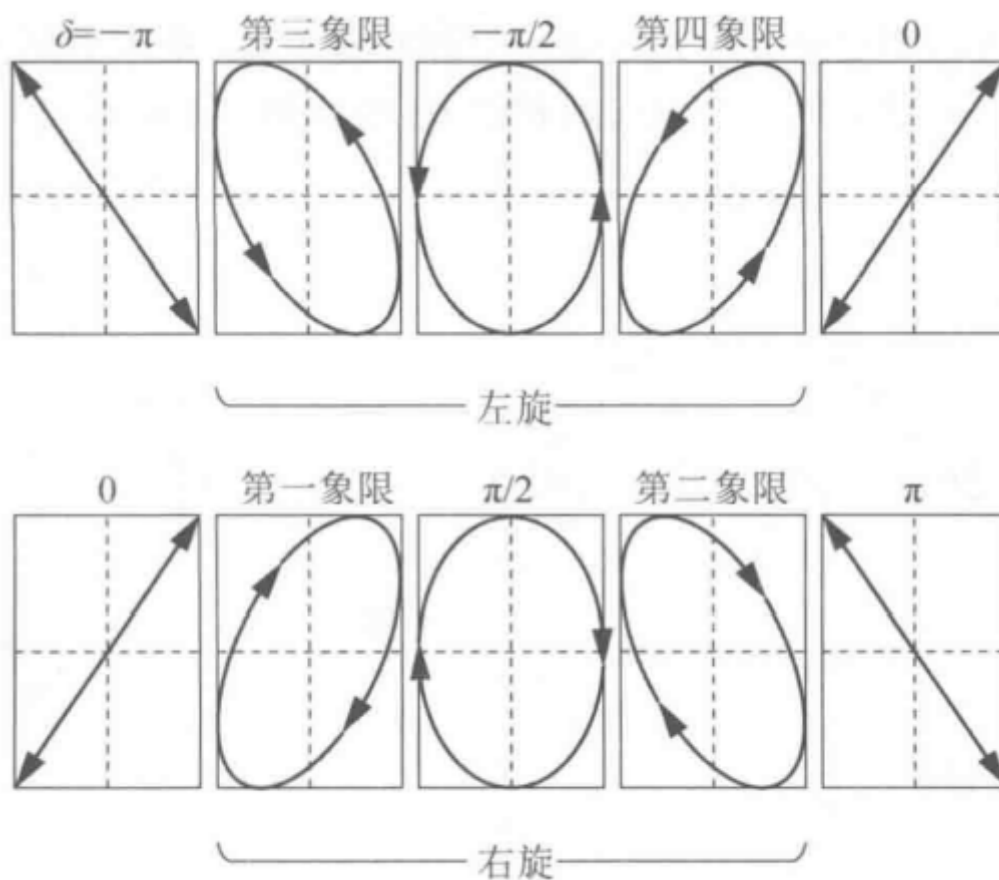


图 3-5 各种相位差的椭圆运动

偏振光干涉

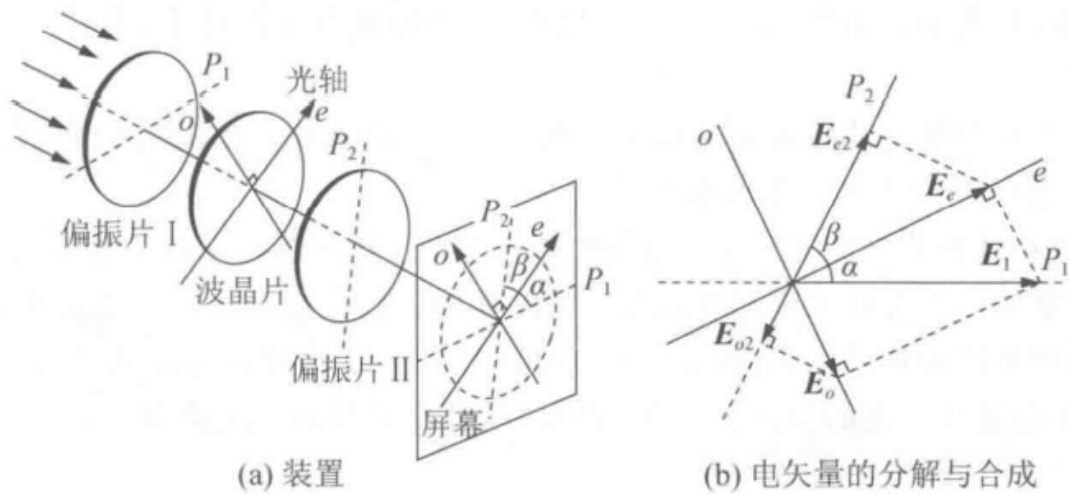


图 4-1 偏振片间的波晶片

考点：各种偏振光通过巴比涅补偿器与偏振片的干涉

电光效应

折射率和电场的关系可以表示为 $n = n_0 + aE + bE^2 + \dots$

- 二阶电光效应 *kerr effect*

$$\delta = \frac{2\pi}{\lambda} b E^2 l = 2\pi K_r \frac{U^2}{h^2} l$$

- 一阶电光效应 *Pockels effect*

$$\delta = \frac{2\pi}{\lambda} n_0^3 \gamma E l = \frac{2\pi}{\lambda} n_0^3 \gamma U$$

旋光效应

原理：平面偏振光可以分解为两束圆偏振光的叠加

$$\theta = \frac{\pi}{\lambda} |n_e - n_o| l = \alpha l, \quad \alpha \text{ 为晶体的旋光本领, } l \text{ 为光波在晶体中的传播距离 (轴向厚度)}$$

自然旋光具有互易性

光的吸收、色散和散射

吸收

- 朗伯定律

$$-dI = \alpha I dx \rightarrow I = I_0 e^{-\alpha x} \text{ 溶液中 } \alpha = AC$$

- 复折射率

$$\tilde{n} = n(1 + i\kappa) \rightarrow \tilde{E} = \tilde{E}_0 e^{-i(\omega t - \frac{\tilde{n}}{v_p} x)} = \tilde{E}_0 e^{-i\omega(t - \frac{\tilde{n}}{c} x)} = \tilde{E}_0 e^{-\frac{n\omega\kappa x}{c}} e^{-i\omega(t - \frac{n}{c} x)} \rightarrow I = I_0 e^{-\frac{2n\omega\kappa x}{c}}, \kappa$$

为衰减指数

经典微观解释理论从电偶极子受迫振动出发 $m\ddot{r} + \gamma\dot{r} + kr = -\frac{eE_0}{m} e^{-i\omega t}$ 再由电磁学理论

$$\tilde{n}^2 = \epsilon_r$$

色散

光在介质中传播速度随波长而异的现象称为色散，定义色散率为： $\frac{dn}{d\lambda}$ ，根据实验定义 $\frac{dn}{d\lambda} > 0$ 为反常色散， $\frac{dn}{d\lambda} < 0$ 为正常色散

- *Cauchy*经验公式： $n = A + \frac{B}{\lambda^2} + \frac{C}{\lambda^4}$
- 棱镜光谱仪

群速

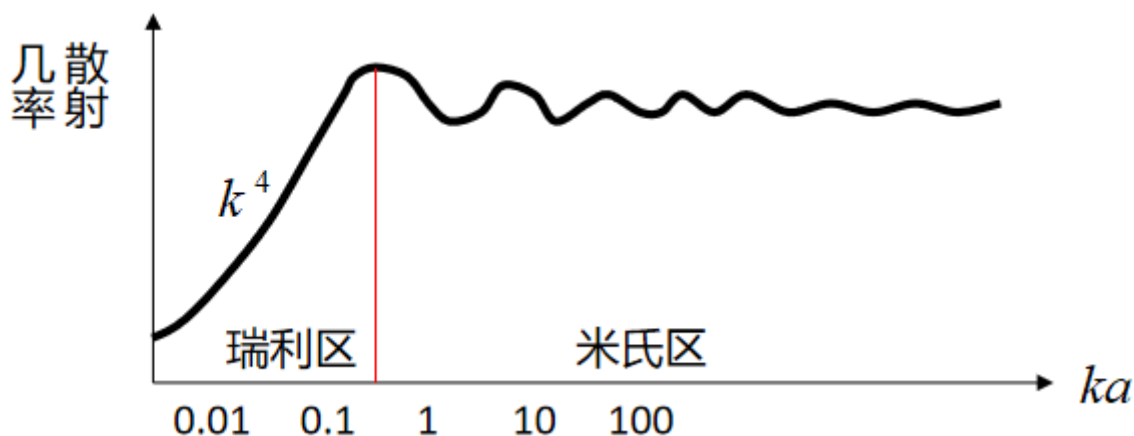
由于波的传播，前一个时刻的相位信息经过 dt 传递到下一时刻，则有

$$\cos[k(x_0 + dx) - w(t_0 + dt)] = \cos[kx_0 - wt_0] \rightarrow \frac{dx}{dt} \stackrel{\Delta}{=} v_p = \frac{w}{k}, v_p \text{ 为相速度}$$

群速度则对应不同频率的波叠加后包络的移动速度，考虑简单情况 ω_1, ω_2 两列波叠加传播，只用关注低频包络因子 $\cos[\Delta k(x_0 + dx) - \Delta w(t_0 + dt)] = \cos[\Delta kx_0 - \Delta wt_0] = \frac{dx}{dt} \stackrel{\Delta}{=} v_g = \frac{\Delta w}{\Delta k}, v_g$ 为群速度

- 对于连续频率的光波叠加需要用到积分和泰勒一阶展开
- v_p 与 v_g 的关系：对 $w = kv_p$ 两边各取 k 的微分

散射



量子光学

热辐射

绝对黑体

- 辐射本领与绝对温度的关系： $R = \sigma T^4$ $\sigma = 5.67 \times 10^{-8} (W/m^2 \cdot K^4)$
- *Wien*位移定律（辐射波长与温度的关系）： $\lambda_M T = b$ $b = 2.88 \times 10^{-3} (m \cdot K)$

光电效应

$$h\nu = \frac{1}{2}mv^2 + A \quad A \text{ 为逸出功}$$

康普顿效应

用来解释光子在电子上散射时的能量和动量的守恒定律

$$\text{由} \begin{cases} h\nu_0 = h\nu + \frac{1}{2}mv^2 \\ \frac{h\nu_0}{c}\vec{e}_0 = \frac{h\nu}{c}\vec{e}_\theta + m\vec{v} \end{cases}$$

解得 $\Delta\nu = \frac{h\nu\nu_0}{mc^2}(1 - \cos\theta)$ $\Delta\lambda = 2\lambda_C \sin^2 \frac{\theta}{2}$ $\lambda_C = \frac{h}{mc}$ 称为康普顿波长

玻尔原子模型

波尔假定电子轨道角动量量子化 $L = n \frac{h}{2\pi}$ $n = 1, 2, \dots$

见P480习题1

激光

激光的产生 $\begin{cases} \text{泵浦源} \\ \text{激活介质} \\ \text{谐振腔} \end{cases}$

激活介质要实现粒子数反转？（低能级电子少于高能级电子）